

3. 非線形解析

(1) 鉄筋の応力-ひずみ関係

鉄筋の応力-ひずみ関係は、図-2に示すようにひずみ硬化を考慮したtri-linear形とし、 $E_s = 1.9 \times 10^6 \text{ kg/cm}^2$ 、 $f_y = 4050 \text{ kg/cm}^2$ 、 $\epsilon_{sy} = 0.0021$ 、 $E_{sh} = 31400 \text{ kg/cm}^2$ 、 $\epsilon_{sh} = 0.026$ とした。

(2) コンクリートの応力-ひずみ関係

圧縮部コンクリートの応力-ひずみ関係としては図-3(a)に示すように標準示方書に示されている修正Hognestad model (TYPE-c I)¹⁾、修正Kent&Park model (TYPE-c II)²⁾およびひずみ軟化領域をCorleyの終局ひずみ³⁾までの下降直線としたTYPE-c IIIの3タイプを用いた。

引張部コンクリートの応力-ひずみ関係としては図-3(b)に示すように引張部コンクリートの応力を無視したTYPE-t I、終局引張ひずみ0.0001まで引張応力を考慮したTYPE-t IIおよび鉄筋とコンクリートの付着応力により引張剛性が高まる、いわゆるtension-stiffening効果⁴⁾を考慮するため引張ひずみの軟化領域を設けたTYPE-t IIIの3タイプを用いた。

(3) 解析方法

解析方法としてはコンクリートと鉄筋の応力-ひずみ関係から繰返し計算により曲げモーメント-曲率関係を求め、これより図-4に示したような梁要素に分割した部材について各荷重段階のモーメントに対応する各節点の曲率を求め、次式によってたわみを求めた。

$$\delta_n = \Delta X^2 \sum_{i=1}^m \sum_{j=1}^i (\phi_{j-1} + \phi_j) / 2 + CX$$

$$C = \Delta X \sum_{i=1}^{N/2} (\phi_{i-1} + \phi_i) / 2$$

[$m \leq N/2$, ΔX ; 要素巾, N ; 要素数]

なお、要素長さは一定とし分割数は1支間につき30、各要素の曲率分布は直線と仮定した。

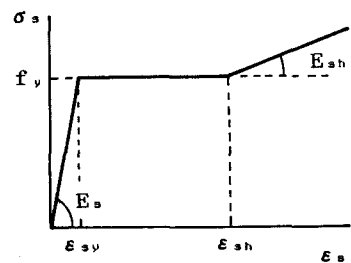


図-2 鉄筋の応力-ひずみ関係

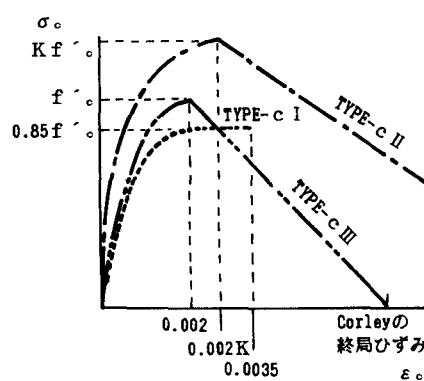
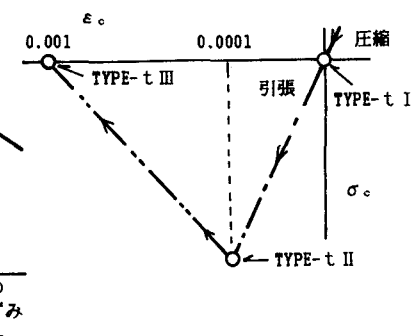


図-3 コンクリートの応力-ひずみ関係



(b) 引張部

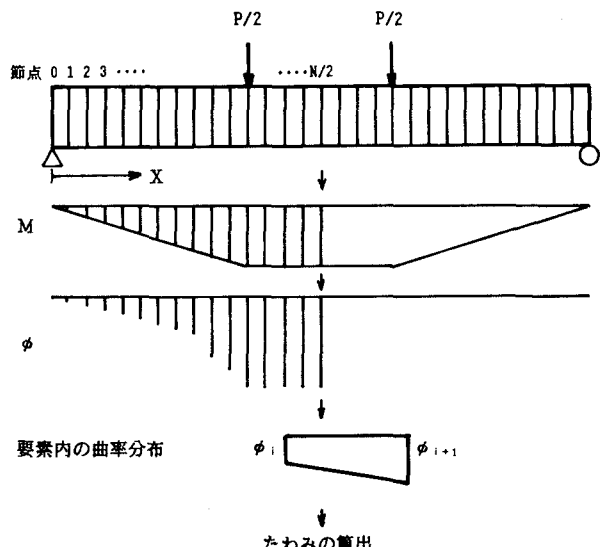


図-4 たわみの計算手順

4. 実験結果および考察

図-5に引張鉄筋のひずみ分布の測定例を示した。これによれば、ひびわれ位置付近においてひずみはピークを示す曲線となりコンクリートと鉄筋の付着によってコンクリートが引張力を負担していることが確認された。

圧縮部コンクリートの応力-ひずみ関係について検討するために、曲げモーメント-曲率関

係の実験結果および解析結果を図-6に示した。圧縮部のモデルはTYPE-c I、TYPE-c IIおよびTYPE-c IIIを用い、引張部のモデルはTYPE-t IIを用いた。

修正Hognestad model (TYPE-c I) は比較的良く実験値と一致するが、終局曲率は $800 \times 10^{-6}/\text{cm}$ 程度であり、実験による曲率が $3000 \times 10^{-6}/\text{cm}$ 以上を示すのに比べ非常に小さいことが認められ、塑性変形挙動を把握する際には十分ではないことが示された。

修正kent&Park model (TYPE-c II) は引張鉄筋降伏後の耐力が実験値に比べ相当に大きくなることが認められた。このモデルは柱部材を対象とした実験から得られたものであり、本実験のような梁部材に適用した場合にはスターラップ量は柱部材における帶筋等に比べ少なく、また、作用力が異なっていることなどから、スターラップの圧縮部コンクリートに対する拘束による耐力増加および韌性の改善等の効果は小さくなると考えられる。

Corleyの終局ひずみを用いたTYPE-c IIIモデルは終局耐力付近で実験値を上回る傾向にあるものの、実験値と比較的良く一致した。

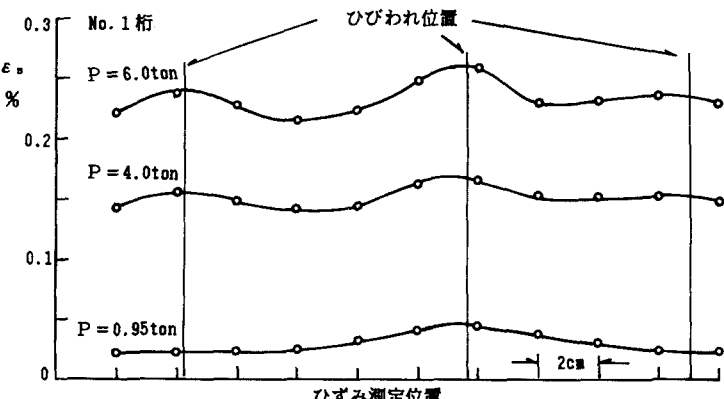


図-5 引張主鉄筋の軸方向ひずみ分布

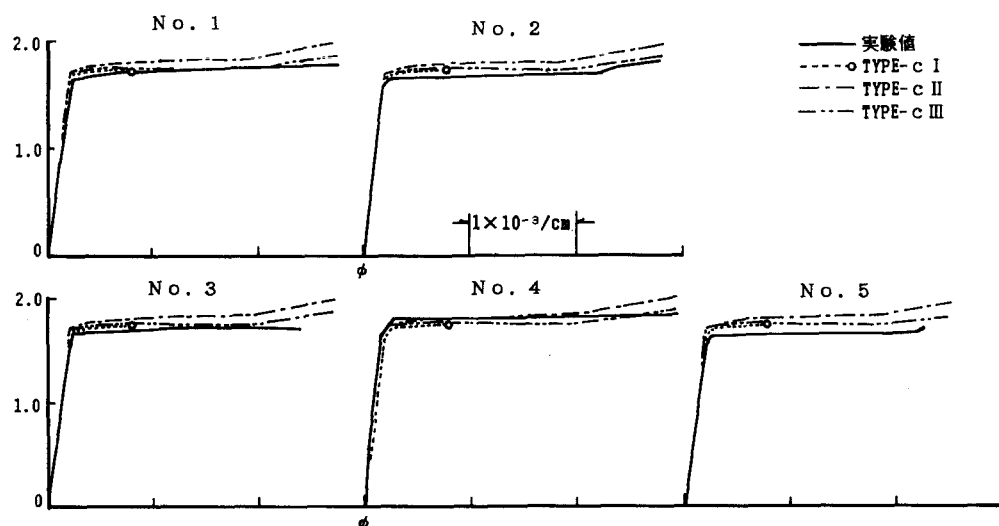


図-6 曲げモーメントと曲率の関係

引張部コンクリートの応力-ひずみ関係について検討するため、曲げモーメント-曲率関係に比べその影響が顕著に表れる荷重-たわみ関係を図-7に示した。引張部のモデルはTYPE-t I、TYPE-t IIおよびTYPE-t IIIを用い、圧縮部のモデルとしてTYPE-c IIIを用いた。これによれば、コンクリートの引張応力を無視したTYPE-t Iモデルはコンクリートのひびわれ発生点までは実験値に比べたわみが大きくなるものの、引張鉄筋の降伏点付近ではほぼ一致することが認められた。引張ひずみを、通常コンクリートの割裂試験で得られる終局ひずみ0.0001まで許したTYPE-t IIモデルはTYPE-t Iモデルの場合と大きな差ではなく、ひびわれ発生による剛性低下点は実験値に比べ低いことが認められた。コンクリートと鉄筋の付着を考慮するためにひずみ軟化領域を設けたTYPE-t IIIモデルは、実験値と良く一致するものもあるが剛性を非常に高く評価しているものもある。これは鉄筋の溝内に貼付したひずみゲージの影響でコンクリートと鉄筋の付着性状が一定とならなかつたためと考えられる。また、いずれのモデルも引張鉄筋の降伏後は同じ挙動を示すことが認められた。

また、別に行った1点載荷実験⁵⁾による耐力は解析値に比べ相当に大きくなる場合があり、2点載荷による本実験では認められなかつた付着の影響が強く表れる場合があることがわかった。

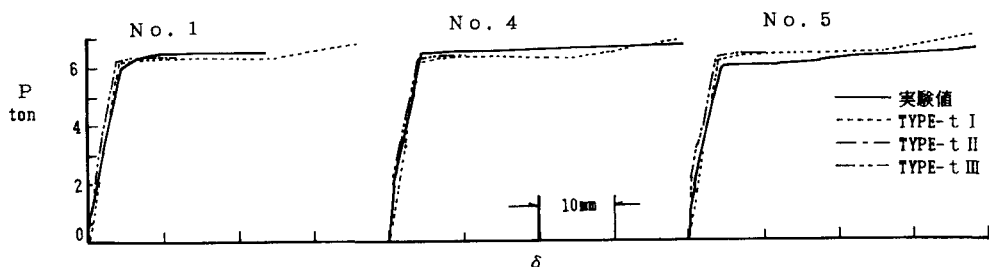


図-7 荷重と載荷点のたわみの関係

5. まとめ

- (1) 土木学会コンクリート標準示方書に示されているコンクリートの応力-ひずみ曲線は塑性変形挙動を把握するためには不十分な場合があり、また、柱部材を対象とした実験から得られた例え修正Kent&Park modelは耐力を過大に見積る。本実験の範囲内ではCorleyの終局ひずみを用いたTYPE-c IIIモデルが比較的良く実験結果と一致した。
- (2) コンクリートの引張部の終局ひずみとして割裂試験による値を用いたモデルの場合、ひびわれ発生による剛性低下点は実験に比べ低くなることが認められた。
- (3) 本実験の範囲内ではコンクリートと鉄筋の付着応力の影響は小さくしか表れなかつた。

参考文献

- 1) 土木学会コンクリート標準示方書
- 2) Park,R., Priestly,M.J.N., Gill,W.D., "DUCTILITY OF SQUARE-CONFINED CONCRETE COLUMNS", Journal of the Structural Division, ASCE, Vol.108, No.ST4, April, 1982
- 3) Corley,W.G., "ROTATIONAL CAPACITY OF REINFORCED CONCRETE BEAMS", Journal of the Structural Division, ASCE, Vol.92, No.ST5, October, 1966
- 4) Chen,W.F., "PLASTICITY IN REINFORCED CONCRETE"
- 5) 志村, 佐伯, 藤田, "鉄筋コンクリート曲げ部材の塑性挙動について", 土木学会第41回年次学術講演会講演概要集 第5部